

## اندازه‌گیری آزمایشگاهی تاثیر متغیرهای مختلف بر بهره تولید دوده‌ی صنعتی

کاظم بشیرنژاد<sup>۱\*</sup>، حمید مهدی هروی<sup>۱\*\*</sup>، دانیال فلاح هروی<sup>۱\*\*\*</sup> و محمد مقیمان<sup>۲</sup>

۱- دانشگاه آزاد اسلامی واحد مشهد، دانشکده مهندسی، گروه مکانیک

۲- دانشگاه فردوسی مشهد، دانشکده مهندسی، گروه مکانیک

در این پژوهش اثر متغیرهای مختلف از جمله محل تزریق خوارک سوخت، دبی سوخت، نوع سوخت و طول ناحیه ورودی کوره در تولید دوده‌ی صنعتی مطالعه شده است. اندازه‌گیری‌ها در یک کوره‌ی آزمایشگاهی که بدین منظور طراحی و ساخته شده انجام پذیرفته است. غلظت دوده‌ی صنعتی خروجی از کوره به روش وزنی اندازه‌گیری شده است. نتایج آزمایشگاهی برای چهار نوع سوخت شامل متان، پروپان، استیلن و گازوییل به دست آمده است. نتایج نشان می‌دهند که بهره تولید دوده‌ی صنعتی برای سوخت‌های متان، پروپان و گازوییل نسبت به هم تغییرات کمی دارند اما بهره تولید دوده‌ی صنعتی از استیلن بیشتر از برای متان، پروپان و حتی گازوییل است. نتایج همچنین نشان می‌دهند که اثر محل تزریق خوارک سوخت بر بهره تولید دوده‌ی صنعتی وابسته به هندسه محفظه‌ی احتراق سوخت است. همچنین مشاهده شد که بهترین بازده تولید دوده‌ی صنعتی برای تمام سوخت‌ها به جز استیلن در نسبت هم ارزی <sup>۴</sup> به وقوع پیوسته است.

**واژگان کلیدی:** دوده‌ی صنعتی، بهره تولید، متان، پروپان، استیلن، گازوییل

### مقدمه

دوده‌ی صنعتی کاربرد بسیار وسیعی در صنایع مختلف از جمله صنعت لاستیک سازی و رنگ دارد. دوده‌ی صنعتی به عنوان یک ماده مهم از کربن تقریباً خالص و دارای ویژگی‌های منحصر به فردی است. این ماده صنعتی مهم اثر قابل توجهی بر مقاومت در مقابل سایش و استقامت لاستیک‌ها و پلاستیک‌ها دارد، به طوری که بیش از ۵۰ درصد وزن بعضی از لاستیک‌ها از دوده‌ی صنعتی تشکیل شده است. روش اصلی تولید دوده‌ی صنعتی تجزیه گرمایی هیدروکربن‌ها و احتراق ناقص سوخت‌های کربن دار است<sup>[۱]</sup>. با توجه به اهمیت دوده‌ی صنعتی تا کنون تحقیقات مختلفی بر روی آن انجام شده است تا بهره تولید و ویژگی‌های این محصول بهبود یابد. همچنین با توجه به افزایش بهای نفت خام و کاهش ذخایر نفتی جهان ضرورت افزایش بهره تولید این محصول مورد توجه بسیاری از محققان است.

دوده‌های صنعتی مورد استفاده در صنعت حدود ۹۸ درصد کربن دارند و ۲ درصد بقیه را اکسیژن، هیدروژن، نیتروژن و سولفور تشکیل می‌دهند. میزان مواد غیر آلی موجود در دوده‌ی صنعتی که خاکستر نامیده می‌شود خیلی ناچیز است. اتم‌های کربن موجود در ذرات دوده‌ی صنعتی در لایه‌هایی واقع شده‌اند که به دلیل آرایش منظم و موازی و نیز همپوشانی یکدیگر، باعث ایجاد ساختار نیمه گرافیتی دوده‌ی صنعتی شده‌اند. محدوده‌ی اندازه‌ی قطر ذرات دوده‌ی صنعتی ۱۰ تا ۴۰۰ نانومتر است. توده‌های اولیه دوده‌ی صنعتی از ترکیب و به هم چسبیدن ذرات بسیار کوچک‌تر پدید می‌آیند و شکل‌های هندسی متفاوتی از قبیل خوش‌های و خوش‌انگوری با شاخه‌های حجمی دارند. دو ویژگی اصلی دوده‌های صنعتی در شناسایی آن‌ها ساختار و مساحت آن‌هاست.

\* استادیار- نویسنده مخاطب (ایمیل: bashirnezhad@yahoo.com)

\*\* استادیار (ایمیل: heravihm@mshdiau.ac.ir)

\*\*\* کارشناس ارشد مکانیک (ایمیل: danielfal@yahoo.com)

\*\*\*\* استاد (ایمیل: mmoghiman@yahoo.com)

کاظم بشیرنژاد، حمید مهدی هروی، دانیال فلاج هروی و محمد مقیمان

هر چه هوا در حین فرایند تولید دوده‌ی صنعتی افزایش یابد، ذرات دوده‌ی صنعتی کوچک‌تر می‌شوند ولی بهره تولید کاهش می‌یابد. امروزه در حدود ۵۰ نوع دوده‌ی صنعتی تولید می‌شوند. میزان مواد فرار در دوده‌ی صنعتی با گرما دادن آن در حدود ۹۵۰ درجه سانتی‌گراد، در شرایط خلا اندازه‌گیری می‌شود. در جریان گرمادهی به دوده‌ی صنعتی، گروههای عاملی سطح آن جدا می‌شوند که از این راه می‌توان مقدار اکسیژن و در نتیجه PH دوده‌ی صنعتی را مشخص کرد. در حین گرمادهی ترکیب‌های آلی سطح، تبخیر شده و تنها به صورت فیزیکی بر روی سطح ذرات دوده‌ی صنعتی جذب می‌شوند. گرچه میزان این مواد در دوده‌های صنعتی ناچیز است اما مقدار آن‌ها قابل اندازه‌گیری است. این ترکیب‌ها اصولاً رنگی بوده و باعث تخریب در سطح تماس لاستیک می‌شوند. میزان گوگرد موجود در سطح ذرات دوده‌ی صنعتی به نوع هیدروکربن مصرف شده و نیز روش تولید دوده‌ی صنعتی بر می‌گردد.<sup>[۲۰]</sup>

دوده‌ی صنعتی توسط روش‌های مختلف تولید می‌شود که عبارت‌اند از روش کوره‌ای، گرمایی، کاتالی، چراغی، و استیلنی، که در این میان روش کوره‌ای اهمیت بیشتری دارد.<sup>[۳]</sup> در روش کوره‌ای که متداول‌ترین روش تولید دوده است سوخت اصلی با مقدار مناسبی از هوا در یک کوره مجهز به عایق مقاوم در برابر آتش برای تولید گازهای داغ سوزانیده می‌شوند. با تزریق خوارک سوخت به داخل گازهای داغ، در اثر گرمایی زیاد، سوخت تجزیه می‌شود. تجزیه گازها در ۱۲۰۰ تا ۱۵۰۰ درجه سانتی‌گراد انجام می‌گیرد. ذرات کربن که از تجزیه گرمایی سوخت تولید شده‌اند هسته‌ی دوده را تشکیل می‌دهند. هسته‌ها پس از تشکیل به دو طریق رشد سطحی و انعقاد، بزرگ می‌شوند. در رشد سطحی، فعل و انفعالاتی که در سطح خارجی هسته انجام می‌شود، به طور مرتبت به قطر هسته می‌افزاید، این در حالی است که در فرایند انعقاد، دو یا چند ذره به یکدیگر چسبیده و توسط یک پوسته خارجی احاطه می‌شوند. افزایش اندازه‌ی ذرات در ابتدا رشد سطحی و سپس انعقاد را متوقف می‌کند. خوششدن در فاز آخر رشد دوده انجام می‌شود که در طی آن ذرات به صورت تصادفی به یکدیگر می‌چسبند و ظاهر خوشای پیدا می‌کنند. گازهای داغ حاوی ذرات دوده‌ی صنعتی از تونلی (با پاشش آب) برای تنظیم ویژگی‌های دوده و پایان دادن به واکنش‌ها عبور می‌کنند. در اثر پاشش آب گازهای داغ تا حدود ۲۰۰ درجه سانتی‌گراد سرد می‌شوند. سپس این مخلوط سرد شده به جدا کننده‌های سیکلونی وارد می‌شود و حدود ۷۵ درصد از دوده‌ی صنعتی با این روش جمع‌آوری می‌شود. گازهای باقی‌مانده هنوز دارای مقداری دوده‌ی صنعتی هستند که برای جمع‌آوری آن‌ها از فیلترهای کیسه‌ای ویژه‌ای استفاده می‌شود.<sup>[۱]</sup> در این پژوهش تولید دوده‌ی صنعتی با روش کوره‌ای مورد بررسی قرار گرفته است.

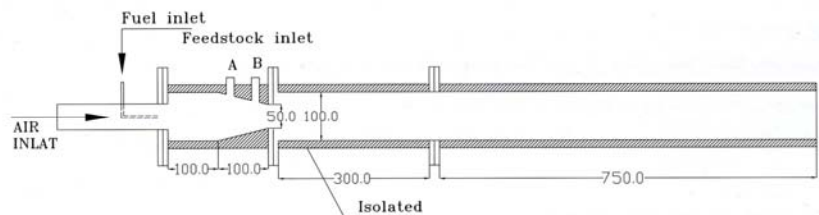
مهم‌ترین مواد خام برای تولید دوده‌ی صنعتی، هیدروکربن‌های سنگین و محصولات جانی مایع حاصل از فراورش زغال‌سنگ، گاز طبیعی و استیلن‌اند. معمولاً دوده‌های تولید شده از روغن‌های سنگین و سبک در صنایع لاستیک سازی، دوده‌ی تولید شده از استیلن در تولید باطری‌های خشک و دوده‌ی تولید شده از گاز متان در صنایع رنگ‌سازی استفاده می‌شوند.

تحقیقات زیادی بر روی نحوه تولید دوده‌ی صنعتی انجام شده است. تحقیقات نشان می‌دهند که کیفیت و کمیت تولید دوده‌ی صنعتی نه تنها به هندسه کوره بلکه به شرایط ورود خوارک سوخت نیز بستگی دارد.<sup>[۴]</sup> مطالعه‌ی متغیرهای موثر بر سطح دوده‌ی صنعتی توسط لاکوود و همکارانش.<sup>[۴]</sup> در سال ۱۹۹۵ انجام شده است. نتایج آن‌ها نشان می‌دهد که نرخ خوارک سوخت و نسبت همارزی بر ویژگی‌های فیزیکی و شیمیایی دوده‌ی صنعتی موثر است. شبیه سازی دوده در یک کوره دوده‌ی صنعتی توسط هایشی و همکارانش در سال ۱۹۹۷ انجام شده است. نتایج آن‌ها نشان می‌دهد که در کسری از میلی ثانیه و در صورت نبود اکسیژن تشکیل دوده‌ی صنعتی همراه با تولید هیدروژن، منوکسید کربن و استیلن انجام می‌شود.<sup>[۵]</sup> نحوه اختلاط خوارک سوخت در یک کوره آزمایشگاهی دوده‌ی صنعتی توسط گرنبرگر و همکارانش در سال ۲۰۰۰ بررسی شده است. نتایج آن‌ها نشان می‌دهد که بهره تولید دوده‌ی صنعتی متأثر از هندسه و شرایط اختلاط خوارک سوخت است.<sup>[۵]</sup> تولید دوده‌ی صنعتی در دماهای بالا و تبدیل آن به کربن و هیدروژن توسط فلچر و همکارانش در سال ۲۰۰۱ بررسی شده است. آن‌ها روش جدیدی برای تولید دوده‌ی صنعتی ارایه کرده‌اند که دارای ضریب بهره نزدیک به ۱ است ولی در حال حاضر به دلیل هزینه‌های زیاد آن در عمل امکان‌پذیر نیست.<sup>[۷]</sup>

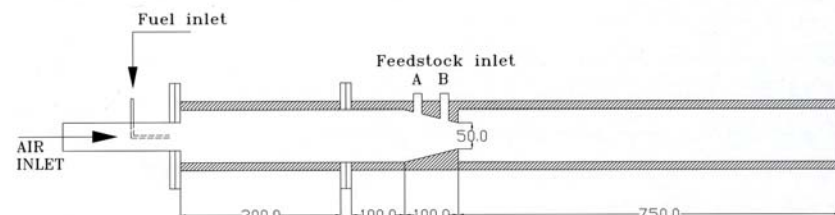
در سال ۲۰۰۶ مقیمان و همکارانش اثر چرخش هوای ورودی بر روی دوده‌ی صنعتی را بررسی کردند. نتایج آن‌ها نشان می‌دهد که زاویه‌ی چرخش هوای ورودی بر روی دوده‌ی صنعتی موثر است و محل تشکیل بیشینه دود و دما به هم خیلی نزدیک هستند [۸]. با وجود تحقیقات متعدد بر روی دوده‌ی صنعتی نتایج تجربی و آزمایشگاهی کافی برای بررسی تأثیر عوامل مختلف بر بهره تولید دوده‌ی صنعتی وجود ندارد و تحقیقات بیشتری مورد نیاز است. از عوامل مهم بر تولید دوده‌ی صنعتی نحوه اختلاط خوارک سوخت با گازهای داغ و دمای گازهای داغ هنگام تزریق خوارک سوخت است. هندسه نایمه پیش احتراق و محل تزریق خوارک سوخت از عوامل موثر بر اختلاط و دمای گازهای حاصل از احتراق اولیه است. در این تحقیق عوامل مختلف از جمله اثر محل تزریق خوارک سوخت، هندسه محفظه‌ی احتراق، نوع سوخت و نسبت هم‌ارزی بر ضریب بهره تولید دوده بررسی شده است.

### شرح دستگاه آزمایشگاهی

کوره استفاده شده در این تحقیق برای تولید دوده‌ی صنعتی و بررسی عوامل مختلف تأثیرگذار در آن مطابق شکل (۱-الف) مشابه کوره تولید دوده شرکت صنعتی پارس ساخته شده است. این کوره شامل قسمت‌های محفظه‌ی پیش احتراق، محفظه‌ی اختلاط، محفظه‌ی واکنش، ورودی هوا محوری، ورودی سوخت اصلی به صورت محوری، چند عدد ورودی برای خوارک سوخت به صورت شعاعی و ورودی هواست. کوره آزمایشگاهی طوری طراحی شده است که قسمت‌های مختلف آن قابلیت باز و بسته شدن را دارند و برای آزمایش‌های مختلف به راحتی قابل تعویض‌اند. به طوری که در شکل (۱-ب) نشان داده شده است قطعات پیش احتراق و محفظه‌ی اختلاط می‌توانند با یکدیگر جایه‌جا شوند تا اثر این جایه‌جایی نیز بر روی میزان بهره تولید دوده‌ی صنعتی مطالعه شود. مشخصات سوخت و اکسید کننده در جدول (۱) ارایه شده است. در شکل (۲) نیز تصویر واقعی کوره نشان داده شده است.



(الف)



(ب)

شکل ۱- طرحواره کوره (اندازه‌ها بر حسب میلی‌متر هستند)

کاظم بشیرنژاد، حمید مهدی هروی، دانیال فلاح هروی و محمد مقیمان



شکل ۲- کوره آزمایشگاهی در هنگام استفاده از سوخت متان

جدول ۱- مشخصات سوخت و اکسید کننده

۴	۳	۲	۱	شماره آزمایش
پروپان	پروپان	پروپان	پروپان	نوع سوخت اصلی
استیلن	گازوبیل	پروپان	متان	نوع خوارک سوخت
هو	هو	هو	هو	اکسید کننده
۰/۰۰۸۱۸	۰/۰۰۸۱۸	۰/۰۰۸۱۸	۰/۰۰۸۱۸	دبي جرمی سوخت اصلی kg/min
۰/۰۳۲۷۲	۰/۰۲۴۵۴	۰/۰۱۶۳۶	۰/۰۰۸۱۸	دبي جرمی خوارک سوخت kg/min
۰/۱۵۴	۰/۱۵۴	۰/۱۵۴	۰/۱۵۴	دبي جرمی اکسید کننده kg/min
۰/۸۳	۰/۸۳	۰/۸۳	۰/۸۳	نسبت هم ارزی بر مبنای سوخت اصلی

در تحقیق حاضر متغیرهای مختلفی از جمله دبی هوا و سوخت ورودی، دمای هوا و سوخت ورودی، دمای محصولات احتراق و میزان غلظت دوده‌ی صنعتی خروجی اندازه‌گیری شده‌اند. برای اندازه‌گیری تمام این متغیرها از وسایل اندازه‌گیری با گستره‌ی اندازه‌گیری و حساسیت مناسب استفاده شده است. اندازه‌گیری دبی هوا و ورودی توسط یک دبی سنج پروانه‌ای با دقیق ۱ لیتر بر ثانیه انجام شده است. برای دقیق بیشتر در اندازه‌گیری‌ها و جلوگیری از خطای محل اتصال دبی سنج به لوله ورودی هوا محل اتصال توسط یک قطعه واسطه مناسب کاملاً هوابند شده است تا تمام هوا و ورودی از داخل دبی سنج بگذرد. اندازه‌گیری دبی سوخت گازی توسط روتامتر با دقیق ۱۶۰ لیتر بر ثانیه و اندازه‌گیری دبی سوخت مایع به روش وزنی با استفاده از یک ترازوی دیجیتال با دقیق ۱ گرم و زمان سنج (Timer) با دقیق ۱ میلی‌ثانیه انجام شده است. برای افزایش دقیق اندازه‌گیری دبی سوخت گاز از دو عدد روتامتر که به صورت سری قرار گرفته‌اند استفاده شده است که همزمان مقدار دبی سوخت توسط هر دوی آن‌ها اندازه‌گیری شده و در صورت عدم یکسان بودن دبی اندازه‌گیری شده توسط روتامترها از میانگین آن‌ها استفاده شده است. دمای هوا و سوخت ورودی توسط ترموموکوپل نوع J با دقیق ۱ درجه سانتی‌گراد و دمای گازهای احتراق توسط ترموموکوپل نوع K با دقیق ۱ درجه سانتی‌گراد اندازه‌گیری شده است. اندازه‌گیری غلظت دوده‌ی صنعتی به روش وزنی با دقیق ۱ میلی‌گرم انجام شده است. در این روش مقدار مشخصی از گازهای خروجی از روی فیلتر مخصوص عبور داده می‌شوند و فیلتر قبل و بعد از آزمایش وزن می‌شود که با توجه به وزن گازهای عبوری از روی فیلتر و وزن دوده‌ی صنعتی قرار گرفته بر روی فیلتر کسر جرمی دوده‌ی صنعتی محاسبه می‌شود. هنگامی که مقدار دوده‌ی صنعتی موجود در گازهای احتراق کم باشد با بیشتر کردن مقدار جرم گازهای عبوری از روی فیلتر دقیق اندازه‌گیری بیشتر می‌شود. در شکل (۳) نمونه‌ای از دوده‌ی صنعتی تولید شده بر روی فیلتر کاغذی نشان داده شده است. شایان ذکر است که ضخامت نمونه برداشت شده حدود ۳ میلی‌متر است.

نوع سوخت، محل تزریق خوارک سوخت و هندسه محفظه‌ی احتراق علاوه بر این که بر غلظت دوده‌ی صنعتی مؤثر هستند بر ویژگی‌های دوده از جمله اندازه‌ی هسته دوده، درصد مواد فرار، سطح بر واحد جرم دوده و درصد خاکستر نیز مؤثرند. در این پژوهش مقدار دوده‌ی تولید شده مورد توجه بوده و ویژگی‌های آن اندازه‌گیری نشده است.



شکل ۳- نمونه‌ای از دوده‌ی صنعتی جمع آوری شده برای اندازه‌گیری

در جدول (۲) فهرست وسایل اندازه‌گیری استفاده شده به همراه گستره و دقت اندازه‌گیری آن‌ها ارایه شده است. تمام اندازه‌گیری‌ها در حالت دائم صورت گرفته است، لذا در حین آزمایش‌ها بعد از هر تغییر در شرایط کوره مدت زمان کافی برای رسیدن به شرایط دائم در نظر گرفته شده است. برای اطمینان از به حالت دائم رسیدن کوره تغییرات دمای شعله با گذر زمان در نقاط مختلف شعله کنترل شده و در صورت گذشت حداقل ده دقیقه از زمان اندازه‌گیری و کمتر بودن نوسانات دما از ۵ درجه سانتی‌گراد، حالت دائم در نظر گرفته شده است.

جدول ۲- مشخصات وسایل اندازه‌گیری

دقت	گستره‌ی اندازه‌گیری	وسیله اندازه‌گیری	کمیت اندازه‌گیری شده
۱ (°C)	-۵۰۰ - ۰ °C	داماسنج نوع J	دمای هوای ورودی
1 lit/s	- ۱۰۰ lit/s	دبی سنج برونه‌ای	دبی هوای ورودی
1 (°C)	-۵۰۰ - ۰ °C	داماسنج نوع J	دمای سوخت ورودی
1 g	- ۲۰ kg	ترازوی دیجیتال	دبی سوخت (مایع)
۰/۰۱۶ lit/s	- ۱۰۰ lit/min	روتامتر	دبی سوخت (گاز)
1 (°C)	- ۹۰۰ - ۰ °C	k ترموموکوبل نوع k	دمای گازهای احتراق
1 mgr	- ۱۰۰ gr	ترازوی دیجیتال	وزن دوده‌ی صنعتی

### تعیین خطای اندازه‌گیری‌ها

برای اطمینان از داده‌های آزمایشگاهی تمام وسایل آزمایشگاهی معتبر از جمله آزمایشگاه کالیبراسیون شرکت گاز خراسان رضوی و آزمایشگاه کالیبراسیون اداره استاندارد کالیبره شده‌اند. با این وجود احتمال وجود خطاهای تصادفی در حین اندازه‌گیری وجود دارد، به همین دلیل همه داده‌های آزمایشگاهی تحلیل آماری شده‌اند. لذا ابتدا برای هر آزمایش، سه داده‌ی آزمایشگاهی جمع آوری شده و سپس میانگین حسابی داده‌ها محاسبه و به عنوان داده‌ی نهایی استفاده شده است. مقدار خطای احتمالی داده‌ها از فرمول زیر محاسبه شده است [۸].

$$\sigma_m = \sigma / n^{0.5} \quad (1)$$

که  $\sigma$  انحراف معیار مجموعه اندازه‌گیری‌ها،  $m$  انحراف معیار مقدار میانگین و  $n$  تعداد اندازه‌گیری‌هاست. با توجه به این که برای تمام نتایج تجربی  $n$  عدد ۳ است، این فرمول به شکل زیر در تحلیل نتایج تجربی استفاده شده است.

$$\sigma_m = 0.577\sigma \quad (2)$$

کاظم بشیرنژاد، حمید ممهدی هروی، دانیال فلاح هروی و محمد مقیمان

در صد خطای اندازه‌گیری داده‌های آزمایشگاهی از رابطه زیر محاسبه شده است.

$$x = 100\sigma_m / \bar{x} \quad (3)$$

که  $\bar{x}$  میانگین حسابی داده‌های آزمایشگاهی و  $x$  درصد خطای اندازه‌گیری است. نتایج تحلیل آماری داده‌های آزمایشگاهی نشان می‌دهد که میزان خطای اندازه‌گیری دوده‌ی صنعتی حدود دو برابر بیشتر از خطای اندازه‌گیری دماست که به دلیل پیچیده‌تر بودن روش اندازه‌گیری دوده‌ی صنعتی نسبت به روش اندازه‌گیری دماست. متوسط خطای اندازه‌گیری دما و دوده‌ی صنعتی برای سوخت‌های مختلف در جدول (۳) نشان داده شده‌اند.

**جدول ۳- مقادیر متوسط درصد خطای اندازه‌گیری داده‌های اندازه‌گیری شده**

خطای اندازه‌گیری دوده‌ی صنعتی	خطای اندازه‌گیری دما	نوع سوخت
%۹	%۵	متان
%۱۲	%۸	پروپان
%۱۴	%۷	گازویل
%۱۴	%۷/۲	استیلن

### نتایج

نتایج آزمایشگاهی برای چهار حالت مختلف شامل دو هندسه کوره متفاوت و دو محل تزریق خوارک سوخت مختلف ارایه شده‌اند که در شکل‌های (۱) و (۲) نشان داده شده‌اند. هم‌چنین در این مقاله چهار نوع خوارک سوخت شامل متان، پروپان، استیلن و گازویل مورد بررسی قرار گرفته‌اند که مشخصات آن‌ها در جدول (۴) ارایه شده‌اند.

**جدول ۴- مشخصات خوارک سوخت**

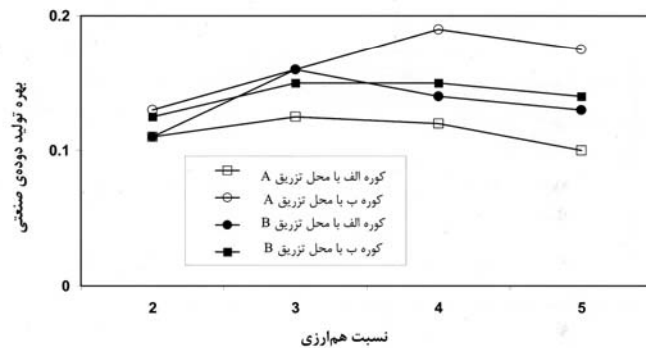
نسبت جرم کربن موجود در سوخت به جرم مولکولی سوخت	جرم مولکولی سوخت	فرمول شیمیایی	نوع سوخت
۰/۷۵	۱۶	CH4	متان
۰/۸۲	۴۴	C3H8	پروپان
۰/۹۲	۲۶	C2H2	استیلن
۰/۸۵	۲۲۶	C16H34	گازویل

برای تمامی حالت‌های بالا بهره تولید با استفاده از داده‌های آزمایشگاهی و فرمول زیر محاسبه شده است. در این رابطه  $Y$  ضریب بهره،  $m_{fs}$  جرم خوارک سوخت (kg)،  $m_{mf}$  جرم سوخت اصلی (kg) و  $m_{cb}$  جرم دوده‌ی صنعتی (kg) است.

$$Y = \frac{m_{cb}}{m_{fs} + m_{mf}} \quad (4)$$

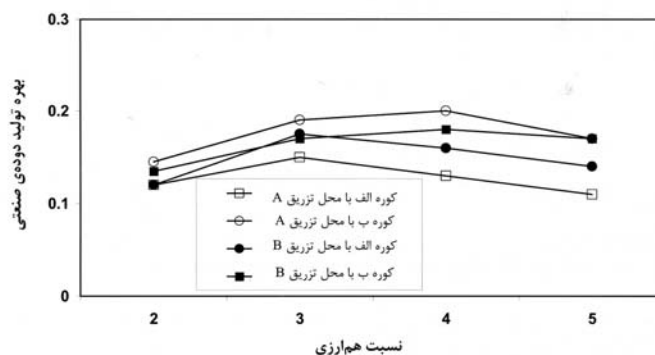
در شکل (۴) تغییرات ضریب بهره بر حسب نسبت هم‌ارزی برای گاز متان ارایه شده است. نتایج نشان می‌دهند که با افزایش دبی جرمی خوارک سوخت یا نسبت هم‌ارزی، ابتدا ضریب بهره تولید دوده‌ی صنعتی افزایش و سپس کاهش می‌یابد. در مقادیر کم خوارک سوخت به دلیل وجود اکسیژن اضافی در گازهای احتراق سوخت اصلی (نسبت هم‌ارزی در سوخت اصلی ۰/۸۳۰ است) مقداری از خوارک سوخت در هنگام تزریق به گازهای داغ، محترق می‌شود و باعث کاهش جرم خوارک سوخت تزریق شده می‌شود که این موضوع باعث پایین آمدن ضریب بهره به ویژه در نسبت‌های هم‌ارزی پایین می‌شود. با افزایش میزان خوارک سوخت مقدار تولید دوده‌ی صنعتی نیز افزایش می‌یابد. اما در نسبت هم‌ارزی ۰/۵ ضریب بهره کاهش یافته است. چون مقدار زیادی از انرژی گازهای داغ داخل محفظه‌ی احتراق برای گرم کردن خوارک سوخت مصرف می‌شود بنابراین انرژی کافی برای تجزیه گرمایی خوارک سوخت وجود ندارد و در نهایت منجر به کاهش بهره تولید دوده‌ی صنعتی می‌شود [۱۰].

نشریه علمی- پژوهشی سوخت و احتراق، سال دوم، شماره اول، بهار و تابستان ۱۳۸۸



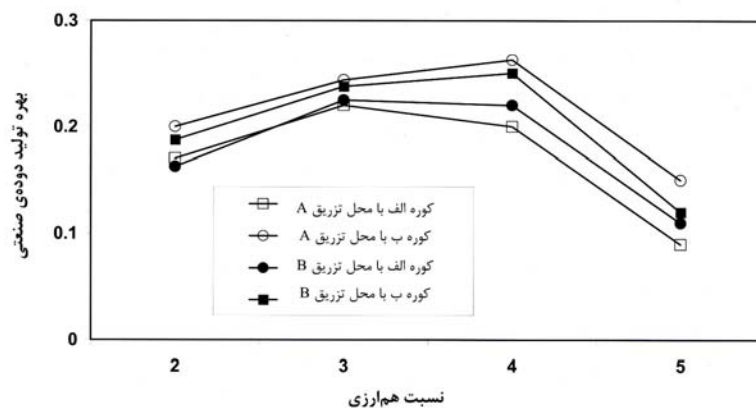
شکل ۴- بهره تولید سوخت متان در شرایط مختلف کوره

در شکل های (۵) و (۶) تغییرات ضریب بهره تولید دودهای صنعتی برای سوخت های پروپان و گازوییل بر حسب نسبت هم ارزی ارایه شده اند. نتایج نشان می دهند که گاز متان و پروپان و گازوییل خیلی شبیه به هم رفتار می کنند. برای هر سه سوخت کوره با هندسه (ب) و محل تزریق خوارک سوخت A بیشترین ضریب بهره تولید را دارد. همان طور که در شکل های (۱) و (۲) نشان داده شده است در کوره (ب) طول محفظه ای احتراق سوخت اولیه بیشتر از کوره (الف) است. لذا در کوره (ب) به دلیل طولانی تر بودن محفظه ای احتراق اولیه، احتراق سوخت اصلی به طور کامل انجام شده و دمای گاز به بیشترین مقدار خود رسیده است، اما در طرح (الف) به دلیل کوتاه بودن محفظه ای احتراق اولیه، احتراق سوخت اصلی به طور کامل انجام نشده که منجر به کاهش ضریب بهره تولید شده است. همچنان نتایج نشان می دهند محل تزریق بر روی بهره تولید دودهای صنعتی موثر است اما به هندسه کوره نیز وابسته است، به طوری که برای کوره طرح (الف)، محل تزریق B و برای کوره با طرح (ب) محل تزریق A بهره بیشتری دارد. در طرح (الف) سوخت اصلی به طور کامل محترق نشده است، بنابراین هر چه دربرتر خوارک سوخت تزریق شود بهره تولید افزایش می یابد. لذا با توجه به این که محل تزریق B نسبت به محل تزریق A فاصله بیشتری از ورودی سوخت اصلی دارد بهره تولید بالاتری نیز دارد. اما در طرح کوره (ب) بازده بهره تولید برای محل تزریق A بیشتر از B است، زیرا در این طرح به دلیل طولانی تر بودن فضای احتراق، سوخت اصلی به طور کامل محترق شده و در ناحیه اختلاط هر چه سوخت زودتر تزریق شود اختلاط بیشتر انجام می شود که منجر به افزایش بهره تولید می شود.



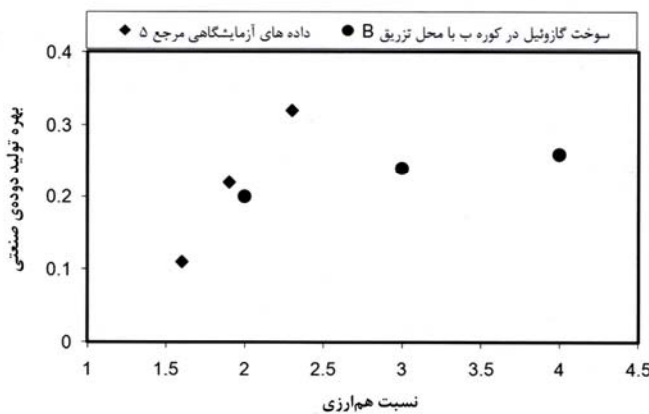
شکل ۵- بهره تولید سوخت پروپان در شرایط مختلف کوره

کاظم بشیرنژاد، حمید ممهدی هروی، دانیال فلاح هروی و محمد مقیمان



شکل ۶- بهره تولید سوخت گازوییل در شرایط مختلف کوره

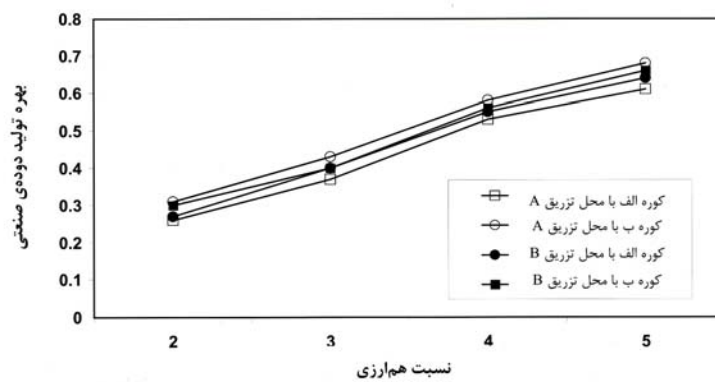
در شکل (۷) نتایج سوخت گازوییل با نتایج تجربی مرجع [۵] که سوخت اصلی گازوییل و خوارک سوخت آن سوخت سنگین است، نشان داده شده است. هندسه کوره در مرجع [۵] تقریباً شبیه کوره نوع (ب) با محل پاشش B است، به همین دلیل با نتایج گازوییل در این حالت مقایسه شده است. روند تغییرات هر دو نتیجه تقریباً یکسان است. مقدار ضریب بهره در مرجع [۵] بیشتر از ضریب بهره تولید دوده گازوییل است که به دلیل استفاده از هیدروکربن‌های سنگین تر است.



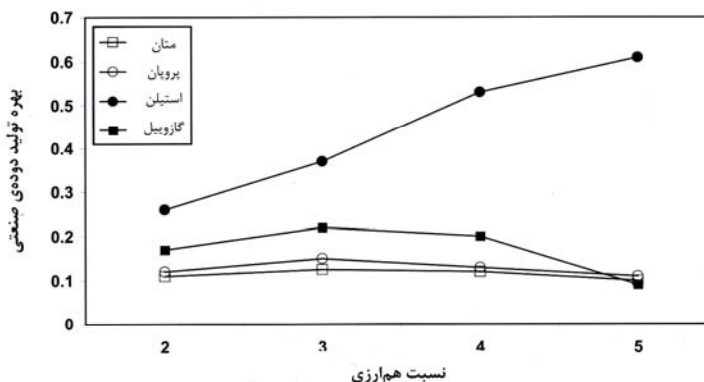
شکل ۷- مقایسه نتایج سوخت گازوییل با نتایج مرجع [۵]

در شکل (۸) تغییرات نسبت همارزی برای سوخت استیلن و برای شرایط مختلف کوره و محل تزریق سوخت ارایه شده است. نتایج نشان می‌دهند که رفتار استیلن با تمام سوخت‌های مطالعه شده تفاوت دارد. به طوری که با افزایش نسبت همارزی مقدار ضریب بهره نیز افزایش یافته است. با توجه به این که تجزیه گرمایی استیلن یک واکنش گرمازاست ولی تجزیه گرمایی سایر هیدروکربن‌های مطالعه شده گرمایگیر است، بنابراین با افزایش دبی جرمای خوارک سوخت ضریب بهره تولید دوده‌ی صنعتی برای سوخت استیلن افزایش می‌یابد زیرا انرژی مورد نیاز برای گرم کردن استیلن توسط تجزیه استیلن تأمین می‌شود [۱۱].

در شکل (۹) تغییرات ضریب بهره تولید برای کوره با هندسه (الف) و محل تزریق A برای چهار سوخت مختلف ارایه شده است. نتایج نشان می‌دهند که گاز متان دارای ضریب بهره تولید کمتری است که این به دلیل پایین‌تر بودن نسبت جرم کربن به جرم سوخت در هر مولکول سوخت است. در جدول (۴) برای سوخت‌های مطالعه شده این نسبت ارایه شده است. همان‌طور که در جدول نشان داده شده است جرم کربن به جرم سوخت برای متان ۰/۷۵، برای پروپان ۰/۸۲ و برای گازویل ۰/۸۵ است. نتایج همچنین نشان می‌دهند که بازده بهره تولید استیلن تقریباً بیش از دو برابر سایر سوخت‌هاست که این به دلیل گرمایی بودن تجزیه گرمایی استیلن است.



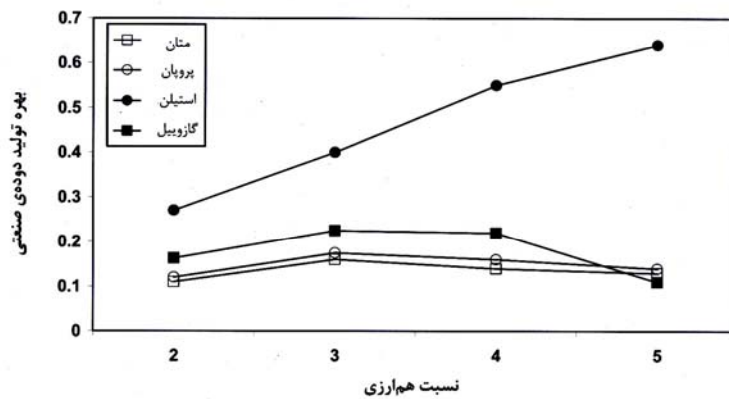
شکل ۸- بهره تولید سوخت استیلن در شرایط مختلف کوره



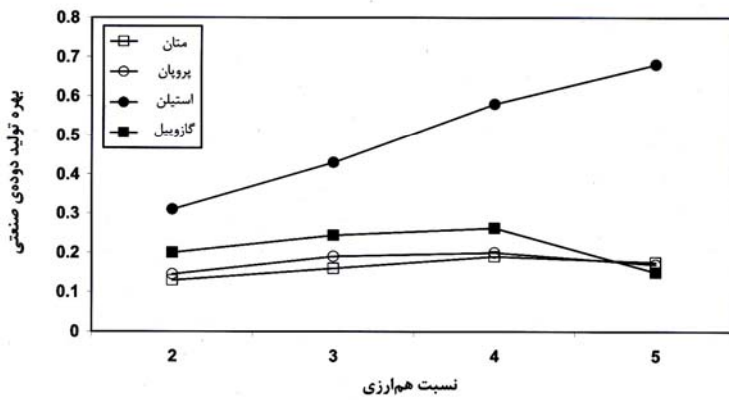
شکل ۹- بهره تولید برای سوخت‌های مختلف در کوره (الف) و محل تزریق A

در شکل‌های (۱۰) تا (۱۲) تغییرات ضریب بهره تولید برای سوخت‌های مختلف با یکدیگر مقایسه شده‌اند. نتایج نشان می‌دهند که برای سوخت گازویل بهره تولید نسبت به سوخت متان و پروپان در مقادیر کمتر خوراک سوخت بالاتر است اما در مقادیر بیشتر خوراک سوخت کمتر است. سوخت گازویل به صورت مایع تزریق می‌شود، بنابراین در مقادیر پایین نسبت هم‌ارزی انرژی کافی برای تبدیل مایع به بخار و سپس شکستن پیوند هیدروکربن‌ها وجود دارد و چون گازویل دارای نسبت کربن بیشتری نسبت به متان و پروپان است، بهره تولید بیشتری هم دارد. در مقادیر بالاتر خوراک سوخت به دلیل مصرف انرژی برای تبخیر گازویل مایع بهره تولید آن نسبت به متان و پروپان کمتر شده است.

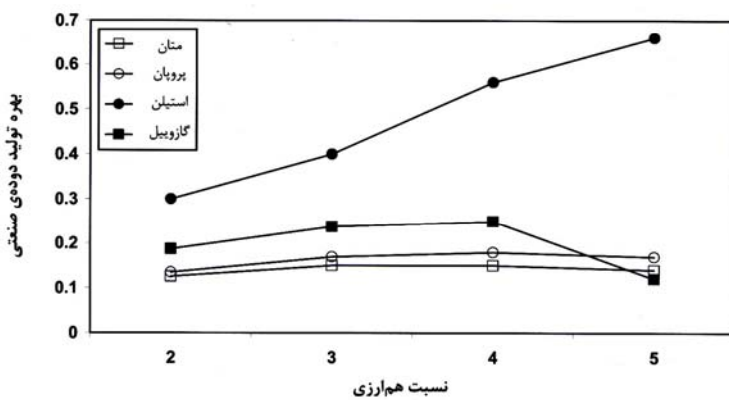
کاظم بشیرنژاد، حمید مهدی هروی، دانیال فلاح هروی و محمد مقیمان



شکل ۱۰- بهره تولید برای سوخت‌های مختلف در کوره (الف) و محل تزریق B



شکل ۱۱- بهره تولید برای سوخت‌های مختلف در کوره (ب) و محل تزریق A



شکل ۱۲- بهره تولید برای سوخت‌های مختلف در کوره (ب) و محل تزریق B

نشریه علمی - پژوهشی سوخت و احتراق، سال دوم، شماره اول، بهار و تابستان ۱۳۸۸

### نتیجه‌گیری

در این پژوهش، تأثیر عوامل مختلفی بر روی بهره تولید دودهای صنعتی به صورت آزمایشگاهی بررسی شده است، از جمله اثر نوع سوخت، هندسه محفظه احتراق و محل تزریق سوخت مورد بررسی قرار گرفته‌اند. نتایج نشان می‌دهند که:

- ضریب بهره استیلن بسیار بالاتر از سایر سوخت‌های مطالعه شده است.
- بالاترین بهره تولید مربوط به کوره طرح (ب) و محل تزریق A است.
- تغییرات ضریب بهره تولید برای سوخت‌های متان، پروپان و گازویل دارای یک الگوی رفتاری است و فقط بهره تولید سوخت مایع گازویل در مقادیر پایین نسبت هم‌ارزی بیشتر از بهره تولید متان و پروپان است. در نسبت‌های هم‌ارزی بالاتر این رفتار برعکس است.

### قدردانی

بدین وسیله از دانشگاه آزاد اسلامی واحد مشهد که هزینه لازم را برای ساخت کوره و خرید لوازم آزمایشگاهی مورد نیاز تامین کرده است، تشکر و قدردانی می‌شود.

### مراجع

1. Adamski, R., In International Carbon Black Directory and Source Book, Portland, ME, USA, Intertech Publications, 1999.
2. Baptiste, J., Donnet, R., and Jaio Wang, M., Carbon Black Science and Technology, 2<sup>nd</sup> Edition, 1993.
3. Franta, I., Elastomers and Rubber Compounding Materials: Manufacture, Properties and Applications, New York, Wiley, 1989.
4. Lockwood, F. C., and Niekerk, S. E., "Parametric Study of a Carbon Black Oil Furnace," Combustion and Flame, 103, pp. 76-90, 1995.
5. Hayashi, S., Furuhata, T., Aoki, H., Miura, T., Kanai, T., and Kurihara, M., "Simulation of Soot Formation Behavior in Carbon Black Furnace," Proceedings of ICLASS-97, August, 1997.
6. Gruenberger, T. M., Moghiman, M., Bowen, P. J., and Syred, N., "Dynamic of Soot Formation by Turbulent Combustion and Thermal Decomposition of Natural gas," Combustion Science and Technology, 174, pp. 67-86, 2002.
7. Fabry, F., Flamant, G., and Fulcheri, L., "Carbon Black Processing by Thermal Plasma: Analysis of the Particle Formation Mechanism," Chemical Engineering Science, 56, pp. 2123-2132, 2001.
8. Moghiman, M., and Bashirnezhad, K., "Experimental and Numerical Studies of Carbon Black Natural Gas Furnace," Kuwait Journal of Science and Engineering, 34, pp. 167-182, 2007.
9. Saario, A., Rebola, A., Coelho, P. J., Costa, M., and Oksanen, A., "Heavy Fuel Oil Combustion in a Cylindrical Laboratory Furnace: Measurements and Modeling," Journal of Fuel, 84, pp. 359-372, 2005.
10. Moghiman, M., "Numerical Prediction and Measurement of Carbon Black through Turbulent Combustion and Decomposition of Natural Gas," Scientia Iranian, 10, No. 2, pp. 1-9, 2003.
11. Babushok, V. I., and Miziolek, A. W., "Condensation Flame of Acetylene Decomposition," Combustion and Flame, 136, pp. 141-145, 2004.